

УДК 532.536

## ВОЛНООБРАЗОВАНИЕ НА СВОБОДНОЙ ПОВЕРХНОСТИ НЕФТЯНЫХ ПЛЕНОК

Ю. А. Березин, Л. А. Сподарева\*

Институт теоретической и прикладной механики СО РАН, 630090 Новосибирск

\* Новосибирский военный институт, 630117 Новосибирск

Исследовано возникновение волновых движений на поверхности тонкого слоя нефти, рассматриваемой как несжимаемая псевдопластическая жидкость, при наличии поверхностного натяжения. Аналитически и численно показано, что в зависимости от величины числа Оствальда такие течения могут быть устойчивыми или неустойчивыми. Найдены профили свободной поверхности при различных числах Оствальда и Вебера.

Согласно современным представлениям нефть является аномально вязкой неньютоновской жидкостью, для описания гидромеханических свойств которой можно использовать степенную реологическую модель Оствальда с показателем  $n = 0,8$ . Известно, что на свободной поверхности любых жидкостей могут развиваться волновые движения различных типов, например гидравлические скачки, кинематические волны, дисперсионные волны и др. [1–7]. Кроме того, свободные поверхности при определенных параметрах жидкости и внешних воздействий оказываются неустойчивыми по отношению к малым и конечным возмущениям. В результате эти свободные поверхности принимают вид хаотически распределенных возвышений и впадин, что в свою очередь может исказить или даже прервать течение жидкости. Исследование этих явлений имеет важное значение для технических приложений.

Течения тонких слоев вязких несжимаемых ньютоновских жидкостей по наклонным плоскостям, в частности неустойчивости этих течений и образование волн, изучались во многих работах (см., например, [1] и библиографию к ней). Несомненно, детальный анализ таких явлений требует численного решения уравнений Навье — Стокса в области со свободной поверхностью, положение которой меняется со временем. Однако этот путь, несмотря на непрерывно увеличивающуюся мощность вычислительной техники, в настоящее время еще слишком трудоемок, в связи с чем развиваются приближенные модели. Для относительно небольших чисел Рейнольдса в [2, 3] методом разложения по малому параметру  $\varepsilon$  (отношению толщины слоя жидкости к некоторой характерной длине волны вдоль слоя) выведено уравнение для толщины слоя жидкости и изучены вопросы линейной устойчивости и стационарные волны конечной амплитуды. В случае малых отклонений толщины слоя от невозмущенного значения и больших поверхностных натяжений в [4] выведено уравнение Курамото — Сивашинского, решения которого приведены в [5, 6]. Для больших чисел Рейнольдса в предположении автомоделного параболического профиля построены модельные уравнения для формы свободной поверхности и расхода жидкости, осредненные по толщине слоя (см., например, [1]). В большинстве работ поверхностное натяжение предполагается большим; при этом в уравнениях остаются слагаемые с высокими производными, а давление считается гидростатическим. В [7] выведены осредненные по толщине слоя уравнения с точностью до слагаемых порядка  $\varepsilon^2$ , такая модель справедлива для малых и умеренных значений числа Вебера, характеризующего отношение сил поверхностного натяжения к силам инерции или тяжести.

В настоящей работе рассмотрены вопросы линейной и нелинейной теории устойчивости пленок нефти (рассматриваемой как неньютоновская жидкость), стекающих по наклонной плоскости под действием сил тяжести, вязкости и поверхностного натяжения, которое считается большим. Исходными уравнениями являются законы изменения массы и импульса, дополненные степенным уравнением состояния Оствальда для жидкостей. Результаты исследования линейной устойчивости таких жидкостей без учета поверхностного натяжения представлены в [8, 9], краткий анализ линейной устойчивости при наличии сил поверхностного натяжения дан в [10].

**1. Модель.** Рассмотрим двумерное движение слоя несжимаемой неньютоновской жидкости по наклонной плоскости, составляющей угол  $\alpha$  с горизонталью, и запишем исходные уравнения в следующем виде:

$$\begin{aligned} \rho(u_t + uu_x + vv_y) &= -p_x + \rho g \sin \alpha + (\sigma_{xx})_x + (\tau_{xy})_y, \\ \rho(v_t + uv_x + vv_y) &= -p_y - \rho g \cos \alpha + (\tau_{yx})_x + (\sigma_{yy})_y, \quad u_x + v_y = 0. \end{aligned} \quad (1.1)$$

Координата  $x$  направлена вдоль наклонной плоскости,  $y$  — перпендикулярно к ней;  $u, v$  есть  $x$ -,  $y$ -компоненты скорости;  $\sigma$  и  $\tau$  — нормальные и касательные компоненты тензора напряжений. Для неньютоновских жидкостей они равны

$$\begin{aligned} \sigma_{xx} &= 2\rho\nu_n A_n u_x, \quad \sigma_{yy} = 2\rho\nu_n A_n v_y, \quad \tau_{xy} = \tau_{yx} = \rho\nu_n A_n (u_y + v_x), \\ A_n &= [2u_x^2 + 2v_y^2 + (u_y + v_x)^2]^{(n-1)/2}, \end{aligned}$$

где  $\rho$  — плотность жидкости;  $\nu_n$  [ $\text{м}^2 \cdot \text{с}^{n-2}$ ] — коэффициент кинематической вязкости жидкости с показателем  $n$ .

Уравнения (1.1) нужно дополнить граничными условиями. Прилипание на наклонной плоскости  $y = 0$  означает  $u = v = 0$ . На свободной поверхности  $y = H(x, t)$  касательное напряжение равно нулю, нормальное напряжение компенсируется поверхностным натяжением и, кроме того, имеет место стандартное кинематическое условие, поэтому

$$p_\tau = 0, \quad p_n = -\sigma(1 + H_x^2)^{-3/2} H_{xx}, \quad H_t + uH_x = v,$$

где  $p_\tau = \tau_{xy} \cos 2\theta + (1/2)(\sigma_{yy} - \sigma_{xx}) \sin 2\theta$ ;  $\text{tg } \theta = H_x$ ;  $p_n = -p + \sigma_{xx} \sin^2 \theta + \sigma_{yy} \cos^2 \theta - \tau_{xy} \sin 2\theta$ ;  $\sigma$  — постоянный коэффициент поверхностного натяжения. Подставив выражения для компонент тензора напряжений, запишем граничные условия в виде

$$(1 - H_x^2)(u_y + v_x) + 4H_x v_y = 0; \quad (1.2)$$

$$-p + \frac{2\rho\nu_n A_n}{1 + H_x^2} [(1 - H_x^2)v_y - H_x(u_y + v_x)] = \frac{\sigma H_{xx}}{(1 + H_x^2)^{3/2}}. \quad (1.3)$$

Для стационарного однородного потока профиль скорости имеет вид

$$u(y) = u_s \left[ 1 - \left( 1 - \frac{y}{H_0} \right)^{(n+1)/n} \right], \quad u_s = \left( \frac{g \sin \alpha}{\nu_n} \right)^{1/n} \frac{n}{n+1} H^{(n+1)/n}, \quad (1.4)$$

где  $u_s$  — скорость жидкости на свободной поверхности.

Введем масштабы:  $L_0, H_0$  — длины вдоль и перпендикулярно наклонной плоскости соответственно,  $p_0 = \rho u_0^2$  — давление,

$$u_0 = \left( \frac{g \sin \alpha}{\nu_n} \right)^{1/n} \frac{n}{2n+1} H_0^{(n+1)/n} —$$

продольная скорость,  $t_0 = L_0/u_0$  — время. В качестве  $L_0$  выбирается некоторая характерная длина волны возмущений,  $H_0$  — невозмущенная толщина слоя жидкости. Рассмотрим длинноволновое приближение ( $\varepsilon \equiv H_0/L_0 \ll 1$ ), используя введенные масштабы.

В результате исходные уравнения (1.1) и граничные условия (1.2), (1.3) в безразмерных переменных с точностью до слагаемых нулевого и первого порядков по малому параметру  $\varepsilon$  можно записать следующим образом:

$$\begin{aligned}\varepsilon(u_t + uu_x + vu_y) &= -\varepsilon p_x + \frac{1}{O_n} \left[ \left( \frac{2n+1}{n} \right)^n + (A_n(u_y + \varepsilon^2 v_x))_y + 2\varepsilon^2 (A_n u_x)_x \right], \\ \varepsilon^2(v_t + uv_x + vv_y) &= -p_y - \frac{1}{O_n} \left\{ \left( \frac{2n+1}{n} \right)^n \operatorname{ctg} \alpha - \varepsilon [(A_n(u_y + \varepsilon^2 v_x))_x - 2(A_n u_x)_y] \right\}, \\ u_x + v_y &= 0,\end{aligned}$$

где  $A_n = [(u_y + \varepsilon^2 v_x)^2 + 4\varepsilon^2 v_y^2]^{(n-1)/2}$ . Граничные условия на дне ( $y = 0$ ) и свободной поверхности ( $y = H(x, t)$ ) имеют вид

$$\begin{aligned}u = v = 0, \quad H_t + uH_x = v, \quad (1 - \varepsilon^2 H_x^2)(u_y + \varepsilon^2 v_x) + 4\varepsilon^2 H_x v_y = 0, \\ -p + \frac{2\varepsilon A_n}{(1 + \varepsilon^2 H_x^2)O_n} [(1 - \varepsilon^2 H_x^2)v_y - H_x(u_y + \varepsilon^2 v_x)] = \frac{\varepsilon^2 \operatorname{We}_n H_{xx}}{(1 + \varepsilon^2 H_x^2)^{3/2}}.\end{aligned}$$

Здесь  $O_n = H_0^n u_0^{2-n} / \nu_n$  — число Оствальда;  $\operatorname{We}_n = \sigma H_0 / (\rho Q_0^2)$  — число Вебера;  $Q_0 = u_0 H_0$ . Отметим, что малый параметр  $\varepsilon$  не является свободным, а определяется решением поставленной задачи; его явное введение в вывод модельных уравнений позволяет отделить слагаемые нужного порядка.

Разлагая функции  $u$ ,  $v$ ,  $p$  по степеням  $\varepsilon$ , находим с точностью до слагаемых первого порядка уравнения и граничные условия:

$$\varepsilon(u_t + uu_x + vu_y) = -\varepsilon p_x + \frac{1}{O_n} \left[ \left( \frac{2n+1}{n} \right)^n + (|u_y|^{n-1} u_y)_y \right], \quad (1.5)$$

$$p_y = \frac{1}{O_n} \left\{ - \left( \frac{2n+1}{n} \right)^n \operatorname{ctg} \alpha + \varepsilon [ (|u_y|^{n-1} u_y)_x - 2(|u_y|^{n-1} u_x)_y ] \right\}, \quad u_x + v_y = 0;$$

$$u = v = 0 \quad \text{при} \quad y = 0,$$

$$H_t + uH_x = v, \quad u_y = 0, \quad p = -\varepsilon^2 \operatorname{We}_n H_{xx} \quad \text{при} \quad y = H(x, t). \quad (1.6)$$

Для того чтобы получить граничное условие для давления, предполагается, что поверхностное натяжение велико:  $\varepsilon^2 \operatorname{We}_n \sim 1$ . В уравнениях (1.5), (1.6) давление не является гидростатическим, так как имеет поправку порядка  $\varepsilon$ .

Для дальнейшего упрощения уравнений (1.5) проинтегрируем по  $y$  от 0 до  $y$  уравнение для давления, используя профиль скорости (1.4) с величинами  $u_s$  и  $H$ , зависящими от  $x$ ,  $t$ , как это принято в интегральном методе Кармана. В результате получим

$$p = \frac{1}{O_n} \left( \frac{2n+1}{n} \right)^n \{ (H-y) \operatorname{ctg} \alpha + \varepsilon H_x (H-y) [2H^{1/n} (H-y)^{-1/n} - 1] \} - \varepsilon^2 \operatorname{We}_n H_{xxx}. \quad (1.7)$$

Дифференцирование (1.7) по  $x$  дает

$$\begin{aligned}p_x = \frac{1}{O_n} \left( \frac{2n+1}{n} \right)^n \left\{ H_x \operatorname{ctg} \alpha - \varepsilon \left[ H_x^2 \left( 2H^{1/n} (H-y)^{-1/n} \left( 1 - \frac{y}{nH} \right) - 1 \right) + \right. \right. \\ \left. \left. + (H-y) H_{xx} \left( 2H^{1/n} (H-y)^{-1/n} - 1 \right) \right] \right\} - \varepsilon^2 \operatorname{We}_n H_{xxx}. \quad (1.8)\end{aligned}$$

Затем проинтегрируем (1.5) по толщине слоя, используя граничные условия (1.6) и приближенный профиль скорости (1.4), чтобы связать средние величины  $\langle u \rangle$ ,  $\langle u^2 \rangle$ , а именно  $\langle u^2 \rangle = (4n+2)\langle u \rangle^2 / (3n+2)$ , а также выражение (1.8) для продольного градиента давления. В результате получим

$$H_t + Q_x = 0, \quad (1.9)$$

$$Q_t + \frac{4n+2}{3n+2} \left( \frac{Q^2}{H} \right)_x = \frac{1}{\varepsilon O_n} \left( \frac{2n+1}{n} \right)^n \left[ (1 - \varepsilon H_x \operatorname{ctg} \alpha) H - \frac{Q^n}{H^{2n}} \right] + \varepsilon^2 \operatorname{We}_n H H_{xxx}.$$

Указанная выше поправка к гидростатическому значению давления пропорциональна  $\varepsilon$  (см. (1.7)). Так как рассматриваются уравнения, справедливые с точностью до слагаемых первого порядка по малому параметру, поправка в уравнениях (1.5) отсутствует, поскольку градиент давления в направлении  $x$  входит в уравнения с множителем  $\varepsilon$ . Это означает, что в полученных уравнениях для формы свободной поверхности и расхода жидкости давление является гидростатическим. Перейдем к исследованию свойств уравнений (1.9), в которых положим  $\varepsilon = 1$ . Это не нарушает общности, так как переход к размерным переменным сводится только к изменению масштабов. Сравнение по результатам численного решения отброшенных и оставленных слагаемых в уравнениях (1.9) показывает, что первые составляют не более 0,1 вторых.

**2. Линейный анализ.** Аналогично [7–9] линеаризуем систему уравнений (1.9) по отношению к малым возмущениям движущегося однородного слоя постоянной толщины, полагая  $H = 1 + h$ ,  $Q = 1 + q$  ( $h, q \ll 1$ ). Представив решение полученной таким образом системы двух линейных уравнений в виде периодических волн  $h, q \sim \exp(i(kx - \omega t))$ , получим

$$\gamma = b(v_0 - v)/(2(v - a)); \quad (2.1)$$

$$\operatorname{We}_n k^4 - (v^2 - 2av + c)k^2 - \frac{b^2(v - v_0)(v + v_0 - 2a)}{4(v - a)^2} = 0. \quad (2.2)$$

Здесь  $\omega$  — комплексная частота;  $k$  — вещественное волновое число малых возмущений;  $\gamma$  — инкремент;  $v$  — фазовая скорость малых возмущений;  $a = (4n + 2)/(3n + 2) = 1,18$ ;  $b = ((2n + 1)/n)^n (n/O_n) = 2,05/O_n$ ;  $c = a - (b/n) \operatorname{ctg} \alpha = 1,18 - (2,05 \operatorname{ctg} \alpha)/O_n$ ;  $v_0 = (2n + 1)/n = 3,25$ .

Уравнения (2.1), (2.2) с точностью до обозначений совпадают с соответствующими уравнениями в случае  $\operatorname{We}_n = 0$  [8, 9] и  $\operatorname{We}_n \neq 0$  [10]. Заметим также, что в частном случае ньютоновской жидкости ( $n = 1$ ) уравнения (2.1), (2.2) переходят в приведенные в [11, 12].

Из (2.1) следует, что инкремент  $\gamma$  положителен при  $v < v_0$  и отрицателен при  $v > v_0$ . Таким образом, рассматриваемое движение однородного слоя нефти неустойчиво по отношению к периодическим малым возмущениям с фазовой скоростью  $v < 3,25$  и устойчиво к малым возмущениям с фазовой скоростью  $v > 3,25$ . Для сравнения отметим, что в случае ньютоновской жидкости  $v_0 = 3$ .

Из уравнения (2.2) имеем

$$k^2 = \frac{(v - v_1)(v - v_2)}{2\operatorname{We}_n} \left\{ 1 \pm \left[ 1 - \frac{\operatorname{We}_n b^2 (v_0 - v)(v_0 + v - 2a)}{(v - a)^2 (v - v_1)^2 (v - v_2)^2} \right]^{1/2} \right\},$$

где  $v_1 = a + (a^2 - c)^{1/2}$ ;  $v_2 = a - (a^2 - c)^{1/2}$ . Инкремент  $\gamma$  обращается в нуль, когда  $v = v_0$ , т. е. при двух значениях волнового числа

$$k^2 = 0, \quad k^2 \equiv k_*^2 = (v_0 - v_1)(v_0 - v_2)/\operatorname{We}_n.$$

Подставляя значения  $v_0, v_1, v_2$ , найдем квадрат граничного волнового числа:

$$k_*^2 = \frac{2n+1}{\operatorname{We}_n n^2} \left[ 1 - (2n+1)^{n-1} n^{2-n} \frac{\operatorname{ctg} \alpha}{O_n} \right]. \quad (2.3)$$

Из этой формулы следует, что рассматриваемое течение устойчиво ( $\gamma \leq 0$ ), когда  $O_n \leq O_n^*$ , где  $O_n^* = (2n + 1)^{n-1} n^{2-n} \operatorname{ctg} \alpha = 0,63 \operatorname{ctg} \alpha$  — критическое число Оствальда. Для случая движения жидкости по вертикальной стенке ( $\alpha = 90^\circ$ ) критическое число Оствальда равно нулю, поэтому при любых числах Оствальда возмущения неустойчивы. Если

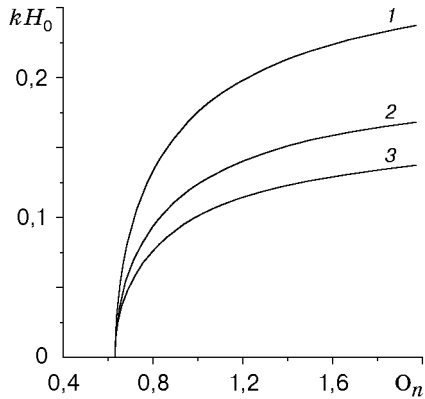


Рис. 1

Рис. 1. Нейтральные кривые устойчивости для нефти ( $n = 0,8$ ;  $O_n^* = 0,63$ ):  
1 —  $We_n = 50$ ; 2 —  $We_n = 100$ ; 3 —  $We_n = 150$

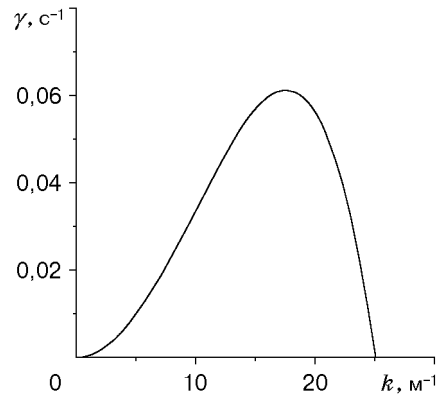


Рис. 2

Рис. 2. Зависимость инкремента от волнового числа для течения с  $O_n = 1$ ,  $We_n = 108$ ,  
 $n = 0,8$

число Оствальда больше критического, то существует конечная область волновых чисел  $\Delta k = 0 \div k_*$ , в которой малые возмущения неустойчивы (инкремент положителен). В случае, когда поверхностным натяжением пренебрегается, область неустойчивых волновых чисел является неограниченной ( $k \rightarrow \infty$ ) [9]. Поверхностное натяжение стабилизирует мелкомасштабные возмущения, делая область неустойчивости по волновым числам конечной. Из формулы (2.3) получим уравнение нейтральной кривой  $O_n = O_n(k)$ , разделяющей области устойчивости и неустойчивости:

$$O_n = O_n^*/(1 - We_n n^2 k^2 / (2n + 1)).$$

Поскольку нефть в разных залежах имеет различные свойства, для расчетов выбраны средние параметры:  $\rho = 850 \text{ кг/м}^3$ ,  $\nu_n = 0,001 \text{ м}^2 \cdot \text{с}^{-1}$ ,  $\sigma = 0,026 \text{ Н/м}$ . Во всех расчетах  $\alpha = 45^\circ$ . На рис. 1 представлены нейтральные кривые для нефти с указанными параметрами при различных числах Вебера. Области выше и левее нейтральной кривой соответствуют устойчивости, ниже и правее — неустойчивости. На рис. 2 приведена зависимость инкремента малых возмущений  $\gamma$  от волнового числа  $k$  для нефти с параметрами  $O_n = 1$ ,  $We_n = 108$ ,  $n = 0,8$ , что соответствует толщине слоя  $H_0 = 0,47 \text{ см}$ . Учитывая, что временной масштаб  $t_0$  [с] равен

$$t_0 = \left( \frac{H_0}{g \sin \alpha} \right)^{1/2} \left( \frac{2n + 1}{n} \right)^{n/2} \frac{1}{O_n^{1/2}},$$

можно записать размерные значения инкремента  $\gamma$  [ $\text{с}^{-1}$ ] и фазовой скорости  $\bar{v}$  [ $\text{м/с}$ ]:

$$\bar{\gamma} = \left( \frac{g \sin \alpha}{H_0} \right)^{1/2} \left( \frac{n}{2n + 1} \right)^{n/2} O_n^{1/2} \gamma, \quad \bar{v} = (g H_0 \sin \alpha)^{1/2} \left( \frac{n}{2n + 1} \right)^{n/2} O_n^{1/2} v.$$

Размерные  $\bar{k}$  [ $\text{м}^{-1}$ ] и безразмерные  $k$  волновые числа связаны соотношением  $\bar{k} = k/H_0$ . Для нефти с указанными параметрами имеем  $u_0 = 11,3 \text{ см/с}$ ,  $v_0 = 36,8 \text{ см/с}$ ,  $v_0/u_0 = 3,25$ ,  $\gamma_{\max} = 0,06 \text{ с}^{-1}$  при  $\bar{k}_{\max} = 17,7 \text{ м}^{-1}$ , граничное волновое число  $k_* = 25 \text{ м}^{-1}$ , возмущения с длинами волн от  $\lambda_{\max} = \infty$  до  $\lambda_{\min} = 25 \text{ см}$  неустойчивы. Все формулы этого раздела переходят в соответствующие формулы для вязкой ньютоновской жидкости [11], поэтому приведенные здесь численные значения характерных величин адекватны в той же степени, что и характеристики течений в случае ньютоновской жидкости, а они находятся в хорошем соответствии с результатами экспериментов [11].

**3. Слабая нелинейность.** Рассмотрим случай слабой нелинейности, добавив к однородному потоку малые возмущения  $H = 1 + h$ ,  $Q = 1 + q$  ( $h, q \ll 1$ ), как и ранее, но учтем слагаемые до второго порядка по  $\varepsilon$ . В этом приближении уравнения (1.9) можно записать в виде

$$h_t + q_x = 0; \quad (3.1)$$

$$\begin{aligned} q_t + a(2q - h)_x - (b/n)[(2n + 1)h - h_x \operatorname{ctg} \alpha - nq] - \operatorname{We}_n h_{xxx} = \\ = 2a(q - h)(h - q)_x + (b/n)[2n^2 qh - hh_x \operatorname{ctg} \alpha - 0,5n(n - 1)q^2 - n(2n + 1)h^2] + \operatorname{We}_n h h_{xxx}. \end{aligned} \quad (3.2)$$

Дифференцируя (3.2) по  $x$  и (3.1) по  $t$  и исключая производные от  $q$ , получим

$$\begin{aligned} h_t + v_0 h_x + b^{-1}(h_{tt} + 2ah_{xt} + ch_{xx} + \operatorname{We}_n h_{xxxx}) = (2a/b)[(qq_x)_x + (hh_x)_x - (qh)_{xx}] - \\ - 2n(qh)_x + (1/n)(hh_x)_x \operatorname{ctg} \alpha + (n - 1)qq_x + 2(2n + 1)hh_x - (\operatorname{We}_n/b)(hh_{xxx})_x. \end{aligned}$$

В соответствии с [11–13] можно без потери точности в нелинейных слагаемых положить  $q = v_0 h$ ,  $\partial/\partial t = -v_0 \partial/\partial x$ , исключить функцию  $q$  и получить эволюционное уравнение для формы свободной поверхности

$$\begin{aligned} h_t + v_0 h_x + v_0 \frac{n + 1}{n} h h_x + \frac{O_n}{nv_0^n} \left( \frac{\partial}{\partial t} + v_1 \frac{\partial}{\partial x} \right) \left( \frac{\partial}{\partial t} + v_2 \frac{\partial}{\partial x} \right) h + \\ + \frac{\operatorname{We}_n O_n}{nv_0^n} [(1 + h)h_{xxx}]_x = \frac{O_n}{n} \left[ \frac{4(2n + 1)}{(3n + 2)v_0^n} \left( \frac{n + 1}{n} \right)^2 + \frac{\operatorname{ctg} \alpha}{O_n} \right] (hh_x)_x. \end{aligned} \quad (3.3)$$

В левой части (3.3) первые два слагаемых описывают кинематическую волну, распространяющуюся вдоль наклонной плоскости со скоростью  $v_0 = 3,25$ ; третье соответствует квадратичной нелинейности; четвертое описывает инерционную волну более высокого порядка по сравнению с кинематической волной; последнее слагаемое появляется из-за поверхностного натяжения. Правая часть уравнения соответствует нелинейной диффузии.

Рассмотрим два предельных случая: умеренных  $O_n \approx 1$  и больших чисел Оствальда  $O_n \gg 1$ . В предельном случае  $O_n \approx 1$  члены, описывающие кинематическую волну, имеют определяющее значение, поэтому в слагаемых, соответствующих инерционной волне, можно сделать подстановку  $\partial/\partial t = -v_0 \partial/\partial x$  и пренебречь правой частью, что приводит к уравнению

$$h_t + v_0 h_x + v_0 \frac{n + 1}{n} h h_x + \frac{O_n}{n^2 v_0^{n-1}} \left( 1 - \frac{O_n^*}{O_n} \right) h_{xx} + \frac{\operatorname{We}_n O_n}{nv_0^n} h_{xxxx} = 0. \quad (3.4)$$

Знак слагаемого, соответствующего диффузии, зависит от числа Оствальда. Если  $O_n < O_n^*$ , слагаемое отрицательно и описывает обычную диффузию, которая стремится сгладить возмущения свободной поверхности пленки нефти. Если  $O_n > O_n^*$ , то слагаемое положительно и описывает рост амплитуды возмущений, что связано с “отрицательной вязкостью”. В этом случае энергия от среднего потока передается кинематической волне через инерционную волну.

В предельном случае  $O_n \gg 1$  введем новый малый параметр  $\varepsilon_1 = nv_0^n/O_n$  и запишем уравнение (3.3) в виде

$$\begin{aligned} \left( \frac{\partial}{\partial t} + v_1 \frac{\partial}{\partial x} \right) \left( \frac{\partial}{\partial t} + v_2 \frac{\partial}{\partial x} \right) h - \left[ \frac{8n + 4}{3n + 2} \left( \frac{n + 1}{n} \right)^2 + \frac{v_0^n \operatorname{ctg} \alpha}{O_n} \right] (hh_x)_x + \\ + \operatorname{We}_n [(1 + h)h_{xxx}]_x + \varepsilon_1 \left[ h_t + v_0 \left( 1 + \frac{n + 1}{n} h \right) h_x \right] = 0. \end{aligned} \quad (3.5)$$

Из этого уравнения следует, что определяющее значение имеют инерционные волны, распространяющиеся вдоль потока со скоростью  $v_1$  и в противоположном потоку направлении

со скоростью  $v_2$ . Выделяя волну вдоль потока, сделаем подстановку  $\partial/\partial t = -v_1\partial/\partial x$  в слагаемых, содержащих производные по времени. В результате получим

$$(v_2 - v_1)(h_t + v_1 h_x)_x - \frac{8n + 4}{3n + 2} \left(\frac{n + 1}{n}\right)^2 (hh_x)_x + \\ + \text{We}_n[(1 + h)h_{xxx}]_x + \varepsilon_1 \left[ (v_0 - v_1)h + v_0 \frac{n + 1}{2n} h^2 \right]_x = 0. \quad (3.6)$$

Заметим, что при выводе этого уравнения слагаемым  $v_0^n \text{ctg } \alpha / O_n$  пренебрегалось, так как  $O_n \gg 1$ . Интегрирование по  $x$  дает

$$h_t + v_1 h_x + \frac{1}{v_1 - v_2} \left[ \frac{8n + 4}{3n + 2} \left(\frac{n + 1}{n}\right)^2 hh_x - \text{We}_n(1 + h)h_{xxx} - \varepsilon_1 \left( v_0 - v_1 + v_0 \frac{n + 1}{n} h \right) h \right] = 0, \quad (3.7)$$

где в том же приближении ( $O_n \gg 1$ ) имеем

$$v_1 = 2(2n + 1) \left( 1 + \sqrt{\frac{n}{4n + 2}} \right) / (3n + 2) = 1,64,$$

$$v_2 = 2(2n + 1) \left( 1 - \sqrt{\frac{n}{4n + 2}} \right) / (3n + 2) = 0,72, \quad v_1 - v_2 = 2 \sqrt{2n(2n + 1)} / (3n + 2) = 0,92.$$

Для ньютоновской жидкости ( $n = 1$ ) при  $\alpha = 90^\circ$  такое уравнение выведено в [12]. Из (3.6) следует, что при больших  $O_n$  кинематическая волна перекачивает энергию в волну инерционную; этот процесс “низкочастотной накачки” описывается линейным слагаемым [11]. Линеаризация уравнения (3.7) при пренебрежении малой накачкой энергии дает дисперсионное уравнение

$$\frac{\omega_r}{k} = v_1 \left( 1 + \frac{\text{We}_n k^2}{(v_1 - v_2)v_1} \right),$$

из которого следует, что фазовая скорость инерционных волн зависит от волнового числа, возрастая с его увеличением. Следовательно, инерционные волны обладают положительной дисперсией, так как коэффициент перед  $\text{We}_n$  положителен (см., например, [14]). Эта дисперсия, обусловленная поверхностным натяжением, приводит к появлению “ряби” перед инерционной волной. Квадрат длины дисперсии равен

$$l^2 = \frac{\text{We}_n(3n + 2)^2}{4n(2n + 1)(1 + 2\sqrt{1 + 1/(2n)})} = 0,66 \text{We}_n.$$

Если накачкой энергии пренебрегается, то уравнение (3.7) в системе координат, движущейся со скоростью  $v_1$ , принимает вид квазилинейного уравнения переноса с дисперсией

$$h_t + 2 \sqrt{1 + \frac{1}{2n}} \left(\frac{n + 1}{n}\right)^2 hh_x - \frac{\text{We}_n(3n + 2)}{2\sqrt{2n(2n + 1)}} h_{xxx} = 0.$$

Используя подстановку

$$h = \bar{h} \left(\frac{n}{n + 1}\right)^2 \left(\frac{n}{4n + 2}\right)^{1/2},$$

получим уравнение Кортевега — де Фриза

$$\bar{h}_t + \bar{h} \bar{h}_x + \beta \bar{h}_{xxx} = 0,$$

где  $\beta = -\text{We}_n(3n + 2)/(2\sqrt{2n(2n + 1)}) = 1,08 \text{We}_n$ , решения которого известны.

Уравнения (3.1)–(3.7), выведенные в приближении слабой нелинейности, позволяют в предельных случаях малых и больших чисел Оствальда описать рассматриваемые волновые процессы и получить количественные оценки их параметров. Для произвольных

чисел Оствальда эти уравнения могут быть решены только численно. Если изучать эволюцию возмущений, не предполагая нелинейность слабой, то необходимо рассматривать уравнения (1.9).

**4. Численное решение нелинейных уравнений.** Эволюция возмущений конечной амплитуды изучалась численно. Для решения системы уравнений (1.9) без учета сил поверхностного натяжения в [9] использовалась явная конечно-разностная схема, в которой потоки массы и импульса аппроксимировались односторонними разностями в соответствии с направлением течения, а слагаемое  $HH_x$ , пропорциональное градиенту давления, — центральной разностью. Эта схема обладает условной устойчивостью; необходимое для устойчивости отношение шагов  $\delta t/\delta x$  подбиралось с помощью вспомогательных расчетов. Учет поверхностного натяжения увеличивает порядок высшей производной по координате до третьего. Указанная схема, дополненная симметричной конечной разностью для аппроксимации третьей производной, применена для решения системы (1.9):

$$H1_i = H_i - (\delta t/\delta x)(u_{i+0,5}H_i - u_{i-0,5}H_{i-1}),$$

$$Q1_i = Q_i - a_n(\delta t/\delta x)(u_{i+0,5}u_iH_i - u_{i-0,5}u_{i-1}H_{i-1}) - b_n \operatorname{ctg} \alpha (\delta t/(2\delta x))H_i(H_{i+1} - H_{i-1}) + b_n \delta t [H_i - Q_i^n/H_i^{2n}] + We_n(\delta t/(2\delta x^3))H_i(H_{i+2} - 2H_{i+1} + 2H_{i-1} - H_{i-2}).$$

Здесь  $H1_i \equiv H_i^{m+1}$ ,  $H_i \equiv H_i^m$ ;  $Q1_i \equiv Q_i^{m+1}$ ,  $Q_i \equiv Q_i^m$ ;  $t^{m+1} = (m+1)\delta t$ ,  $t^m = m\delta t$ ;  $u_{i+0,5} = (u_i + u_{i+1})/2$ ,  $u_{i-0,5} = (u_i + u_{i-1})/2$ ;  $a_n = (4n+2)/(3n+2)$ ,  $b_n = O_n^{-1}((2n+1)/n)^n$ . Схема удобна в реализации, а ее условная устойчивость, требующая выбора  $\delta t < \delta x^3$ , не является большим ограничением из-за одномерности задачи. Все расчеты проведены для случая  $\alpha = 45^\circ$ .

Начальное локализованное возмущение выбиралось в виде сглаженной ступеньки, неограниченной вверх по течению, а граничные условия — в виде  $H(0, t) = 1 + H_1$ ,  $H(x_{\max}, t) = 1$ , где  $H_1$  — амплитуда ступеньки. Использование таких граничных условий подразумевает, что численное решение проводится до тех пор, пока возмущение находится достаточно далеко от границ расчетной области (это условие заложено в алгоритме расчета).

На рис. 3,а представлен профиль свободной поверхности нефтяной пленки, движущейся по наклонной плоскости, в моменты времени  $t = 50t_0$  и  $t = 100t_0$  после внезапного освобождения начальной ступеньки, высота которой  $H_1 = 0,047$  см, при  $O_n = 1$  и  $We_n = 108$ ,  $n = 0,8$ . Так как число Оствальда превышает критическое значение 0,63, начальное возмущение неустойчиво, и со временем возникает волна с крутым передним

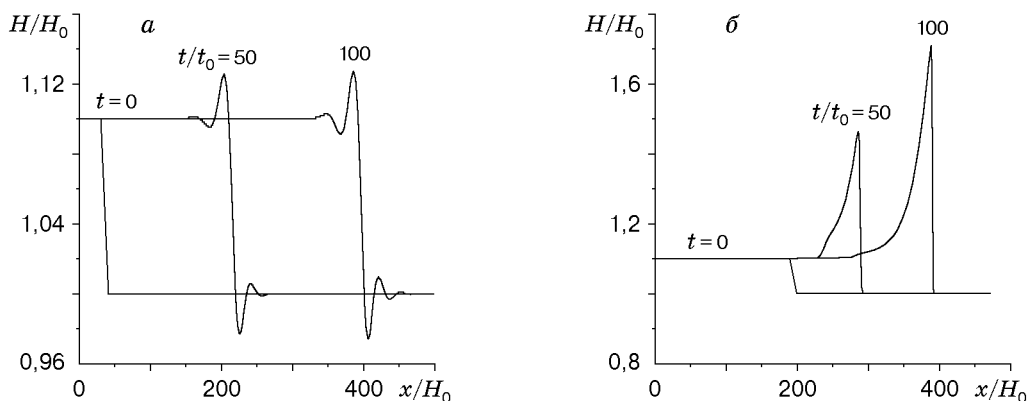


Рис. 3. Профиль свободной поверхности слоя нефти ( $n = 0,8$ ):

а —  $O_n = 1$ ,  $We_n = 108$ ; б —  $O_n = 160$ ,  $We_n = 0,0088$

фронтом и заметными пространственными осцилляциями перед и за фронтом. С течением времени амплитуда осцилляций не увеличивается, что свидетельствует о компенсации нелинейных эффектов, приводящих к увеличению амплитуды возмущений, стабилизирующим воздействием сил поверхностного натяжения. Если увеличить толщину слоя жидкости, это приведет к росту числа Оствальда и уменьшению числа Вебера. На рис. 3,б представлены профили свободной поверхности слоя нефти, имеющего невозмущенную толщину  $H_0 = 2$  см, в моменты времени  $t = 50t_0$  и  $t = 100t_0$ . В этом случае  $On = 160$ ,  $We_n = 0,0088$ ,  $n = 0,8$  и влияние поверхностного натяжения несущественно. Со временем начальная ступенька изменяет форму, и возникает структура типа ударной волны, похожая на стационарные решения осредненных по толщине слоя жидкости уравнений, которые проанализированы в [8]. Профиль свободной поверхности имеет гладкую часть, толщина которой монотонно увеличивается по мере продвижения к переднему фронту, принимая максимальное значение 3,4 см ( $t = 100t_0$ ), а затем резко уменьшается, монотонно приближаясь к невозмущенному значению.

#### ЛИТЕРАТУРА

1. **Chang H.-C.** Wave evolution on a falling film // *Annu. Rev. Fluid Mech.* 1994. V. 26. P. 103–136.
2. **Benney D. J.** Long waves on liquid films // *J. Math. Phys.* 1966. V. 45. P. 150–155.
3. **Mei C. C.** Nonlinear gravity waves in a thin sheet of viscous fluid // *J. Math. Phys.* 1966. V. 45. P. 266–288.
4. **Lin S. P.** Finite amplitude side-band stability of a viscous film // *J. Fluid Mech.* 1974. V. 63. P. 417–429.
5. **Trifonov Yu. Ya., Tsvlodub O. Yu.** Nonlinear waves on the surface of a falling liquid film // *J. Fluid Mech.* 1991. V. 229. P. 531–554.
6. **Chang H.-C., Demekhin E. A., Kopelevich D. I.** Nonlinear evolution of waves on a falling film // *J. Fluid Mech.* 1993. V. 250. P. 433–480.
7. **Lee J.-J., Mei C. C.** Stationary waves on an inclined sheet of viscous fluid at high Reynolds and moderate Weber numbers // *J. Fluid Mech.* 1996. V. 307. P. 191–229.
8. **Ng C., Mei C. C.** Roll waves on a shallow layer of mud modelled as a power-law fluid // *J. Fluid Mech.* 1994. V. 263. P. 151–183.
9. **Berezin Yu. A., Hutter K., Spodareva L. A.** Stability analysis of gravity driven shear flows with free surface for power-law fluids // *Arch. Appl. Mech.* 1998. V. 68. P. 169–178.
10. **Hwang C., Chen J., Wang J., Lin J.** Linear stability of power-law liquid film flows down an inclined plane // *J. Phys. D: Appl. Phys.* 1994. V. 27. P. 2297–2301.
11. **Алексеев С. В., Накоряков В. Е., Покусаев Б. Г.** Волновое течение пленок жидкостей. Новосибирск: Наука. Сиб. отд-ние, 1992.
12. **Алексеев С. В., Накоряков В. Е., Покусаев Б. Г.** Волнообразование при течении пленки жидкости на вертикальной стенке // *ПМТФ.* 1979. № 6. С. 77–87.
13. **Whitham G. B.** Linear and nonlinear waves. N. Y.: J. Wiley, 1974.
14. **Karpman V. I.** Nonlinear waves in dispersive media. N. Y.: Pergamon Press, 1975.

*Поступила в редакцию 28/X 1999 г.*